

東京都立大学 正会員 ○野上邦策
東京都立大学 正会員 伊藤文人

1. まえがき 本報告は、弹性座屈問題と初期曲りを含む幾何非線形及び残留応力を持つ材料非線形を考慮した柱の耐荷力問題について、最近注目を集めている川井氏^{著者}の新しい離散系モデルを参考にした剛体要素-バネ系モデル（シャンレーモデルの拡張モデル）により解析し、さらに材片の局部座屈の発生により柱の最終耐荷力がどのように影響を受けるかを検討したものである。

2. 解析モデル 解析モデルは要素自身を剛体と見なし、要素間をバネ（曲げひずみ、軸ひずみの両方を従属的に考慮できるよう上下フランジ断面に取り付けた2本の伸縮バネ）で結合し、このバネに弾性体としての力学的特性（材料非線形特性を含む）を与えたものである。従って有限要素法に比して1節点当たりの自由度数が2個となる。バネ常数は、連続体としての要素のひずみエネルギーとバネのひずみエネルギーが等価になるように決定し、要素が等分割であれば

$$K_i^{(0)} = K_i^{(1)} = K = (m-1)EA/zL, \quad R = r \quad (1)$$

なる関係式が得られる。ここで $(m-1)$ はバネの節点数、 L は柱の全長、 A は断面積、 r は断面中心から両側取り付け位置までの距離、 z は断面2次半径（図-1）

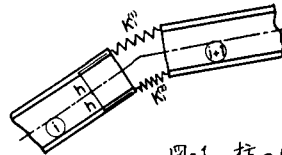
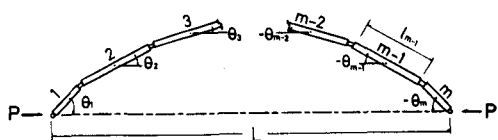


図-1 柱の解析モデル

3. 解析法 解析仮定は、①両端要素以外等分割要素
②両端ヒンジ ③柱の断面は箱型H型（旋軸）対称断面で腹板無視 ④応力-ひずみ曲線は残留応力の有る完全弾塑性曲線であり、さらに局部座屈発生時応力で水平移行に入る。（図-4）である。本解析モデルにおける座屈荷重は細長比を含む2次の固有値問題になり、次の行列式から得られる。

$$\begin{vmatrix} (\lambda/2\alpha)^2 - \lambda^2 + 1 & (\lambda/2\alpha)^2 - 1 & 0 & 0 & \cdots & 0 & 0 \\ (\lambda/2\alpha)^2 - 1 & 2(\lambda/2\alpha)^2 - \lambda + 2 & (\lambda/2\alpha)^2 - 1 & 0 & \cdots & 0 & 0 \\ 0 & (\lambda/2\alpha)^2 - 1 & 2(\lambda/2\alpha)^2 - \lambda + 2 & (\lambda/2\alpha)^2 - 1 & \cdots & 0 & 0 \\ \vdots & \vdots & \vdots & \vdots & \ddots & \vdots & \vdots \\ 0 & 0 & 0 & 0 & \cdots & z(\lambda/2\alpha)^2 - \lambda + 2 & (\lambda/2\alpha)^2 - 1 \\ (\alpha^2/\lambda)/2 & \alpha^2 - \lambda & \alpha^2 - \lambda & \alpha^2 - \lambda & \cdots & \alpha^2 - \lambda & (\alpha^2/\lambda)/2 \end{vmatrix} = 0 \quad (2)$$

$$\text{ここで } \alpha = L/(m-1)r, \quad \lambda = PL/2KR^2(m-1)$$

非線形解析は、Newton-Raphson法を用い、荷重と従属変数にレバ位増分により行なう。

4. 全てのシマリエネルギー-U及び約合方程式は次式で与えられる。つまり

$$U = \sum_{i=1}^{m-1} \left[\int_0^{d_i^{(0)}} f_i \cdot d(d_i) + \int_0^{d_i^{(1)}} f_i \cdot d(d_i) - P \left[\frac{L}{z(m-1)} (\cos \theta_i^0 + \cos \theta_m^0 - \cos \theta_i - \cos \theta_m) + \frac{L}{m-1} \sum_{i=2}^{m-1} (\cos \theta_i^0 - \cos \theta_i) + \sum_{i=1}^{m-1} f_i \cos \left(\frac{\theta_i + \theta_{i+1}}{z} \right) \right] \right] \quad (3)$$

$$\begin{aligned} f_i^{(0)} + f_i^{(1)} - P \cos \left(\frac{\theta_i + \theta_{i+1}}{z} \right) &= 0 \quad (i=1, m-1), & h(f_{i+1}^{(0)} - f_{i-1}^{(1)} - f_i^{(0)} + f_i^{(1)}) - \frac{PL}{m-1} \sin \theta_i + \frac{Pd_{i-1}}{z} \sin \left(\frac{\theta_{i-1} + \theta_i}{z} \right) \\ h(-f_i^{(0)} + f_i^{(1)}) - \frac{PL}{z(m-1)} \sin \theta_i + \frac{Pd_i}{z} \sin \left(\frac{\theta_i + \theta_{i+1}}{z} \right) &= 0, & + \frac{Pd_i}{z} \sin \left(\frac{\theta_i + \theta_{i+1}}{z} \right) = 0 \quad (i=2, m-1) \end{aligned} \quad (4)$$

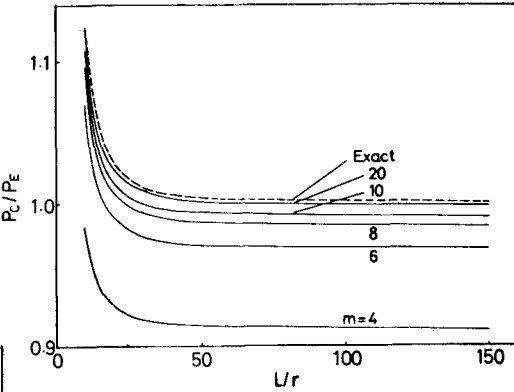


図-2 固有値と要素分割数の比較

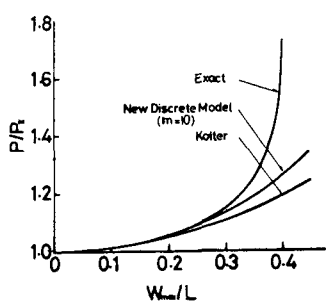


図-3 エラスティカ曲線

$$\text{と} \rightarrow \text{式(4)式の第2, 第3式の総和は次の適用条件を含んでいます} \\ \frac{L}{z(m-1)} (\sin \theta_1 + \sin \theta_m) + \frac{L}{m-1} \sum_{i=2}^{m-1} \sin \theta_i - \sum_{i=1}^{m-1} d_i \sin \left(\frac{\theta_i + \theta_{m-i}}{2} \right) = 0 \quad (5)$$

自由度数を考慮して(4)式の第3式の $i=m$ 式の代りに(5)を使います。

ただし f は非線形バネ力、 θ_i は軸方向変位、 θ^0 は初期曲り)、 αf^0 、 $\alpha f^{(2)}$ はバネの伸縮変形量。 θ_i, d_i, P の近似値を $\bar{\theta}_i, \bar{d}_i, \bar{P}$ とし、これらの変数の修正量 $\Delta \theta_i^*, \Delta d_i, \Delta P$ は次式より得られます。ここで $\dot{f} = \frac{df}{d(\alpha f)}$

$$\Delta \theta_i = \left(\dot{f}_i^{(0)} + \dot{f}_i^{(2)} \right) d\theta_i + \left\{ \frac{\bar{P}}{2} \sin \left(\frac{\bar{\theta}_i + \bar{\theta}_{m-i}}{2} \right) - h \left(\dot{f}_i^{(0)} - \dot{f}_i^{(2)} \right) \right\} \Delta \theta_i^* \\ + \left\{ \frac{\bar{P}}{2} \sin \left(\frac{\bar{\theta}_i + \bar{\theta}_{m-i}}{2} \right) + h \left(\dot{f}_i^{(0)} - \dot{f}_i^{(2)} \right) \right\} \Delta \theta_{i+1}^* - \cos \left(\frac{\bar{\theta}_i + \bar{\theta}_{m-i}}{2} \right) \Delta P \quad (i=1, m-1)$$

$$\Delta z = \left\{ \frac{\bar{P}}{2} \sin \left(\frac{\bar{\theta}_i + \bar{\theta}_{m-i}}{2} \right) - \left(\dot{f}_i^{(0)} - \dot{f}_i^{(2)} \right) h \right\} d\bar{d}_i + \left\{ - \frac{\bar{P} L}{2(m-1)} \cos \bar{\theta}_i + \frac{\bar{P} \bar{d}_i}{4} \cos \left(\frac{\bar{\theta}_i + \bar{\theta}_{m-i}}{2} \right) \right. \\ \left. + h^2 \left(\dot{f}_i^{(0)} + \dot{f}_i^{(2)} \right) \right\} \Delta \theta_i^* + \frac{\bar{P} \bar{d}_i}{4} \cos \left(\frac{\bar{\theta}_i + \bar{\theta}_{m-i}}{2} \right) - h^2 \left(\dot{f}_i^{(0)} - \dot{f}_i^{(2)} \right) \Delta \theta_{i+1}^*$$

$$\Delta z_i = \left\{ \frac{\bar{P}}{2} \sin \left(\frac{\bar{\theta}_{i-1} + \bar{\theta}_i}{2} \right) + h^2 \left(\dot{f}_{i-1}^{(0)} - \dot{f}_{i-1}^{(2)} \right) \right\} d\theta_{i-1} + \left\{ \frac{\bar{P}}{2} \sin \left(\frac{\bar{\theta}_i + \bar{\theta}_{m-i}}{2} \right) - h^2 \left(\dot{f}_i^{(0)} - \dot{f}_i^{(2)} \right) \right\} \Delta \theta_i^* \\ + \left\{ \frac{\bar{P} \bar{d}_{i-1}}{4} \cos \left(\frac{\bar{\theta}_{i-1} + \bar{\theta}_i}{2} \right) - h^2 \left(\dot{f}_{i-1}^{(0)} + \dot{f}_{i-1}^{(2)} \right) \right\} \Delta \theta_{i-1}^* + \left\{ - \frac{\bar{P} L}{m-1} \cos \bar{\theta}_i + \frac{\bar{P} \bar{d}_i}{4} \cos \left(\frac{\bar{\theta}_{i-1} + \bar{\theta}_i}{2} \right) \right. \\ \left. + \frac{\bar{P} \bar{d}_i}{4} \cos \left(\frac{\bar{\theta}_i + \bar{\theta}_{m-i}}{2} \right) + h^2 \left(\dot{f}_{i-1}^{(0)} + \dot{f}_{i-1}^{(2)} + \dot{f}_i^{(0)} + \dot{f}_i^{(2)} \right) \right\} \Delta \theta_i^* + \left\{ \frac{\bar{P} \bar{d}_i}{4} \cos \left(\frac{\bar{\theta}_i + \bar{\theta}_{m-i}}{2} \right) - h^2 \left(\dot{f}_i^{(0)} + \dot{f}_i^{(2)} \right) \right\} \\ \left\{ \Delta \theta_{i+1}^* - \left\{ \frac{\bar{L}}{m-1} \sin \bar{\theta}_i - \frac{\bar{d}_{i-1}}{2} \sin \left(\frac{\bar{\theta}_{i-1} + \bar{\theta}_i}{2} \right) - \frac{\bar{d}_i}{2} \sin \left(\frac{\bar{\theta}_i + \bar{\theta}_{m-i}}{2} \right) \right\} \Delta P \right\} \quad (i=2, m-1)$$

$$\Delta z_{m-i} = - \sum_{i=1}^{m-1} \left\{ \sin \left(\frac{\bar{\theta}_i + \bar{\theta}_{m-i}}{2} \right) d\theta_i \right\} + \left\{ \frac{\bar{L}}{2(m-1)} \cos \bar{\theta}_i - \frac{\bar{d}_i}{2} \cos \left(\frac{\bar{\theta}_i + \bar{\theta}_{m-i}}{2} \right) \right\} \Delta \theta_i + \\ \sum_{i=2}^{m-1} \left[\left\{ \frac{\bar{L}}{m-1} \cos \bar{\theta}_i - \frac{\bar{d}_{i-1}}{2} \cos \left(\frac{\bar{\theta}_{i-1} + \bar{\theta}_i}{2} \right) - \frac{\bar{d}_i}{2} \cos \left(\frac{\bar{\theta}_i + \bar{\theta}_{m-i}}{2} \right) \right\} \Delta \theta_i \right] + \left\{ \frac{\bar{L}}{2(m-1)} \cos \bar{\theta}_m - \frac{\bar{d}_m}{2} \cos \left(\frac{\bar{\theta}_{m-1} + \bar{\theta}_m}{2} \right) \right\} \Delta \theta_m$$

4. 解析結果 本解析モデルの固有値は、軸ひずみを含む厳密解に分割数が $m=30$ のほとんど一致したが、 $m=10$ で十分な精度が得られたので以後の解析では $m=10$ を採用した。(図-2) エラスティカ問題について、本モデル解は従来の厳密解と Koiter の近似解の中間値を示した(図-3)。非線形解析について、局部座屈の影響を考慮しない場合($\beta=1.0$)、変位増分-荷重曲線は全ての細長比に対し最終耐荷力に達し圧縮側バネが全断面降伏した後塑性モード曲線($P/P_0 = 1/(1+W/L)$)に沿う。又局部座屈の影響を考慮すると、圧縮側バネは最終耐荷力に達する前に全断面降伏状態になり β の値が小さくなる程著しい(図-5)。柱の耐荷力曲線に付いて、短柱領域では $P/P_0 = \beta$ が支配的になり、長柱領域になると耐荷力に局部座屈の影響がほとんどなくなり、これらの中間領域で $\beta=1.0$ の耐荷力曲線に漸近している(図-6)。最後に本研究に御助力下さいました木内俊氏(前田建設)、荒川勉氏(埼玉県庁)に深く感謝する次第です。使用計算機は汎用 FACOM 1160s 文献 1) 川井、近藤 New Beam and Plate Bending Elements in Finite Element Analysis, 生産研究, 28, 9, 1976 2) 川井、都井 A New Element in Discrete Analysis of Plane Strain Problems 生産研究, 29, 4, 1977 3) 川井 固体力学における新しい離散化要素 TSSC 第1回川井・近藤解析研究報告会論文集, 1977 4) 川井 残留応力と初期曲りが有る場合の柱の耐荷力曲線モデルの数学的考察, TSSC 第1回川井・近藤解析研究会論文集, 1977

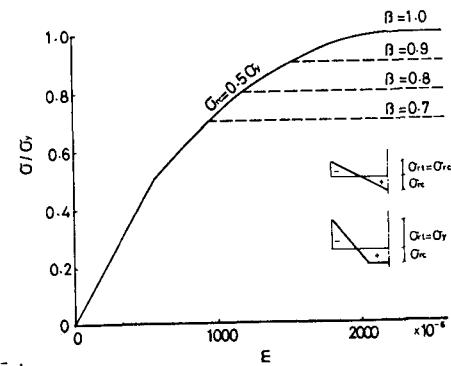


図-4 応力-ひずみ曲線

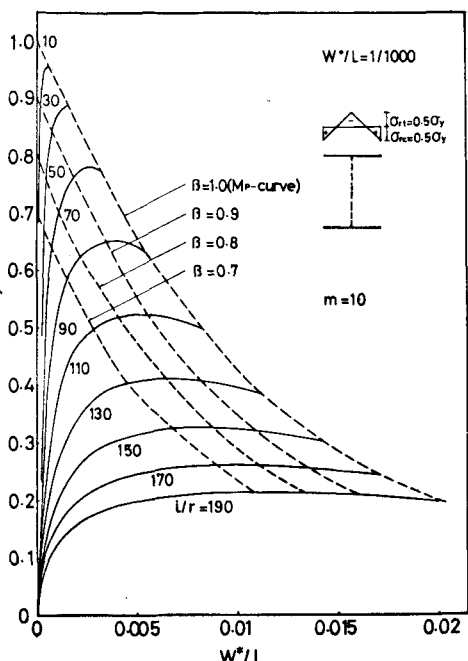


図-5 変位増分(中央節点)-荷重曲線

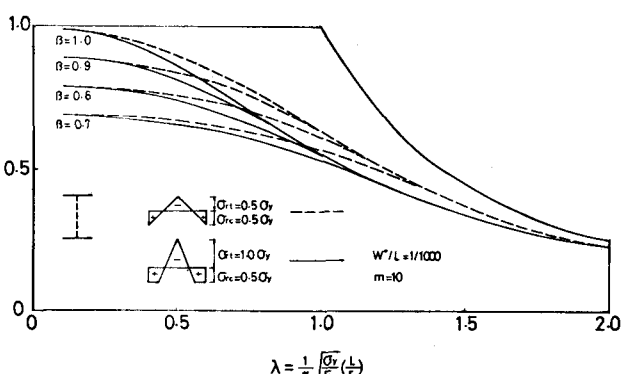


図-6 残留応力と初期曲りが有る場合の柱の耐荷力曲線